



МИНИСТЕРСТВО
МОРСКОГО ФЛОТА
(МИНМОРФЛОТ)

103750 Москва, Жданов, 1/4

от 15.04.83 № ДП-5/2912

на №

Г

Руководителям предприятий
и организаций Минморфлота,
директору Соязморнипроекта
и директорам филиалов

Г

Го введении в действие
Дополнения № 3 к
ВСН 19-70/ММФ

Министерством морского флота утверждено Дополнение № 3 к "Нормам технологического проектирования морских каналов", ВСН 19-70/ММФ по определению оптимальных навигационных запасов по глубине и ширине каналов, расположенных в особых природных условиях (районы Крайнего Севера, Баренцевого, Охотского морей и Татарского пролива) и для судов современных конструкций.

В целях обеспечения введения в действие указанного Дополнения
ПРЕДЛАГАЮ:

1. С 01.05.83 г.

ввести в действие Дополнение № 3 к "Нормам технологического проектирования морских каналов", ВСН 19-70/ММФ

2. Четырнадцатипроекту обеспечить рассылку настоящего письма и Дополнения заинтересованным организациям.
3. Руководителям предприятий и организаций Минморфлота, Соязморнипроекту и его филиалам внести изменения в Нормы ВСН 19-70/ММФ и обеспечить контроль за их внедрением.

Председатель
ВАО "Монстройзагранпоставка"

В.В. Аристархов

УТВЕРЖДАЮ

Заместитель министра морского

флота

Л.П.Недяк

"25" марта 1983 г.

И З В Е Щ Е Н И Е

О Дополнении № 3 "Норм технологического
проектирования морских каналов"

ВСН 19-70/ММД

И.о. главного инженера

Союзморниипроекта

Ю.А. Ильинский

Зам.директора Черноморниипроекта по научной работе

—
В.С. Зеленский

I. Пункт 4.3. Табл. 7 дополнить примечанием 3:

Для каналов, расположенных севернее параллели $66^{\circ}30'$, а также для Берингова, Охотского морей и Татарского пролива и расчетных судов до 20 тис.т необходимо вводить поправку на увеличение осадки судна при обледенении, равную 0,1 м.

2. Пункт 4.5. Изложить в новой редакции:

Скороотной запас Z_3 , м при движении одиночного судна определяется с помощью графиков рис. 3,4 и табл. 9.

а) График рис. 3 служит для определения скороотного запаса при движении судна на мелководье, Z_3 .

На графике $F_r = \frac{V}{\sqrt{gE}}$ (определяется из рис. 2); $\sum Z_{r,s} = Z_r + Z_s + Z'_s$. Z_3 определяется методом последовательных приближений.

Величина третьего слагаемого Z'_s , входящего в $\sum Z_{r,s}$ сначала принимается равной 0,35 и из графика выбирается Z_s . затем, найденная Z_s подставляется в $\sum Z_{r,s}$ вместо 0,35 и вычисления повторяются. Как правило, действия ограничиваются двумя пересчетами.

б) График рис. 4 уточняет величину скороотного запаса для судна движущегося в каналах неполного профиля. Выбранный из графика рис. 4 коэффициент K_1 умножается на Z_3 , $K_1 Z_3$, м

в) С помощью табл. 9 определяется скороотная поправка глубини для каналов полного профиля.

Величина скороотного запаса для мелководья Z_3 умножается на коэффициент K_2 , выбранный из табл. 9, $K_2 Z_3$, м

для каналов о двухориентированном движении Z_3 умноживается на 80%.

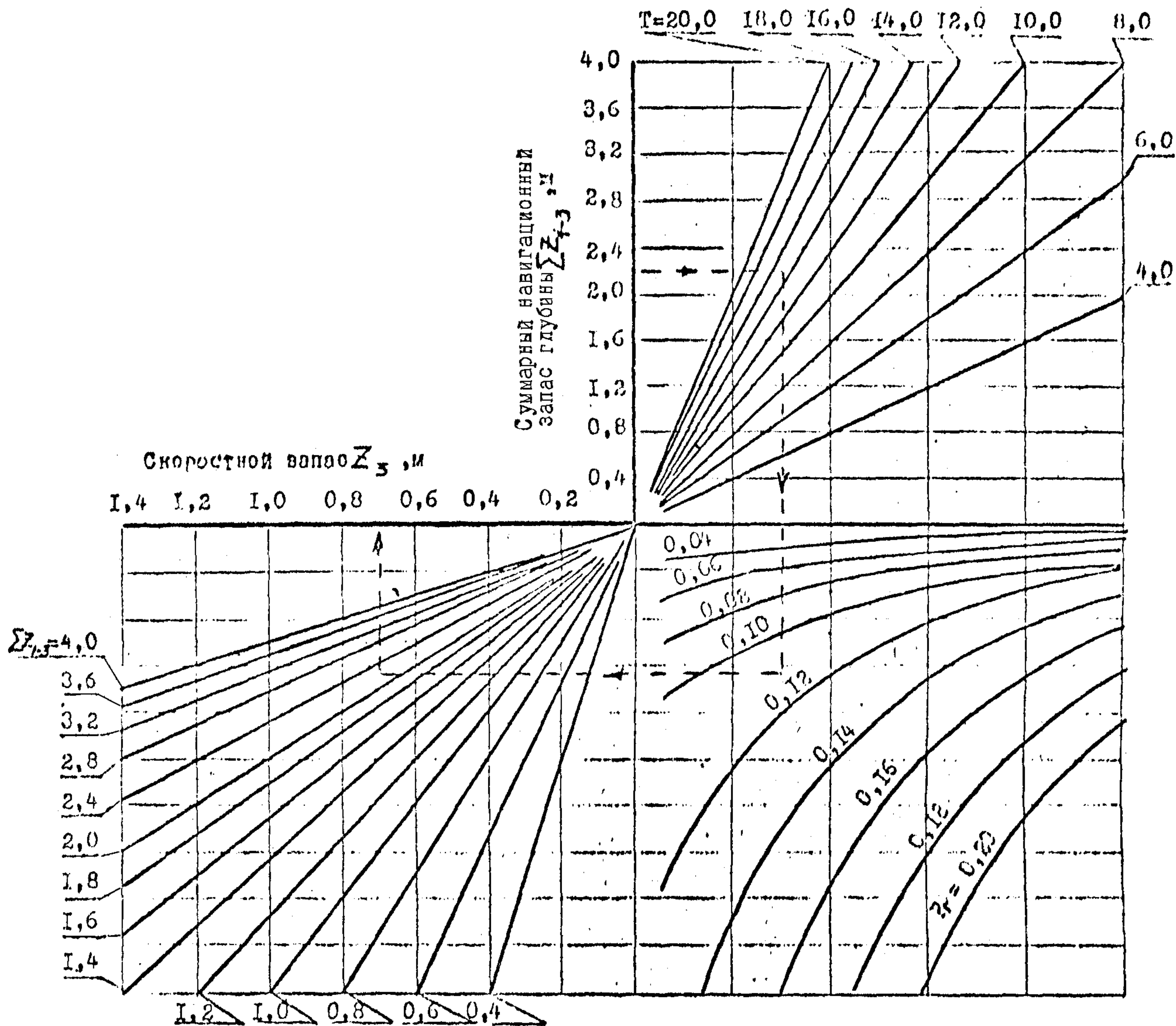


Рис.3 Определение скоростного запаса Σ_3 , м на молко-водье по осадке судна T , м, числу Фруда Fr и суммарному навигационному запасу глубины $\Sigma\Sigma_{1-3}$, м.

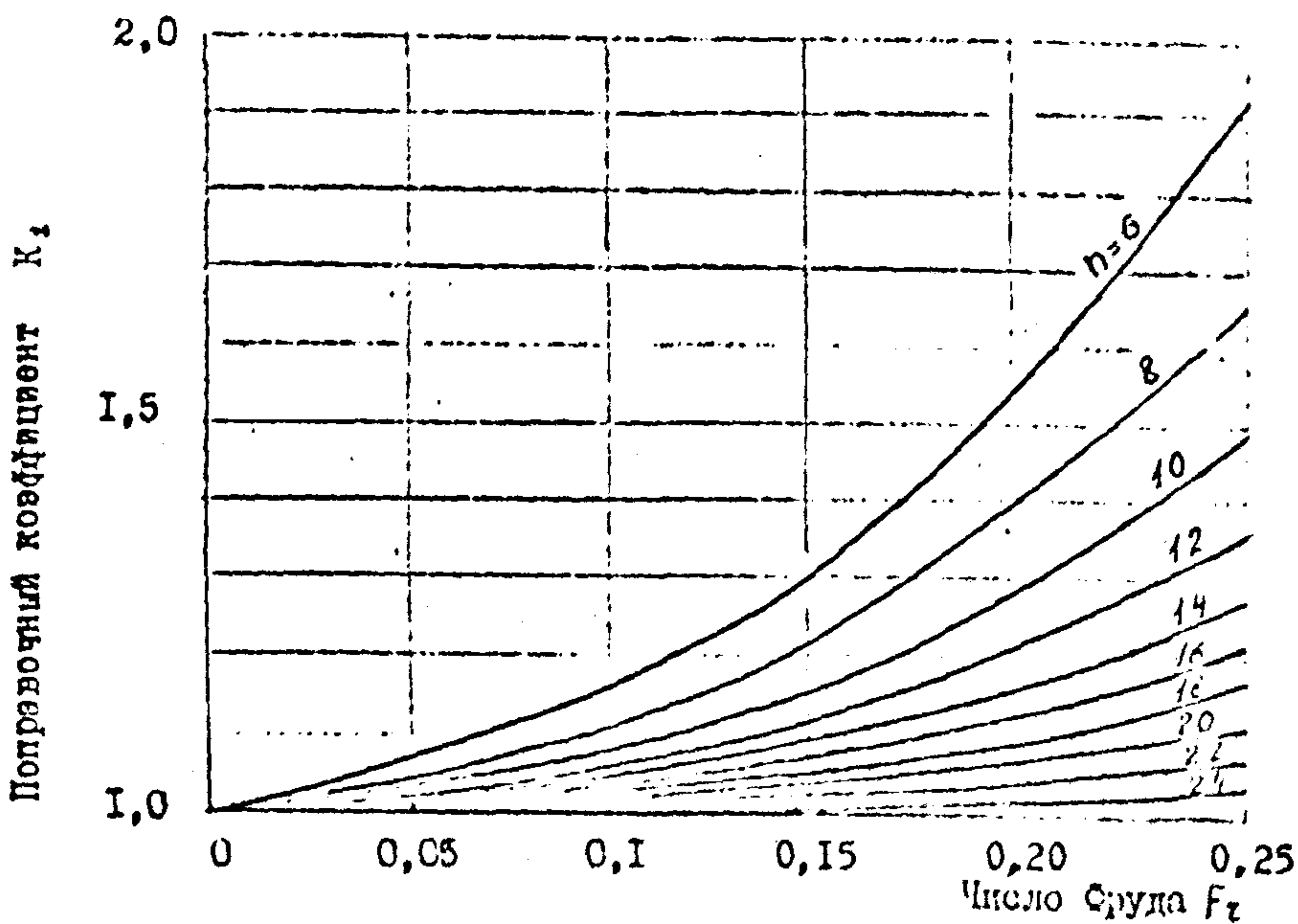


Рис. 4. График определения поправочного коэффициента K_1 для каналов неполного профиля по числу Фруда F_r и отношению площадей $n = \frac{S_k}{S_a}$.

Таблица 9

Поправочный коэффициент для каналов полного профиля, K_2

$n = \frac{S_k}{S_a}$	6	8	10	12	14	16	18
K_2	1,90	1,68	1,50	1,33	1,27	1,24	1,15

3. Пункт 4.6. Изложить в новой редакции:

Залас на крен судна Z_o , м определяется по формулам:

$$Z_o = \frac{B}{2} \sin \theta \quad (9a)$$

$$Z_o = \frac{B}{2} \sin (\theta + \theta_d), \quad (9b)$$

где θ - угол крена от ветра, выбирается из табл. 9а;

θ_d - динамический угол крена, выбирается из табл. 9б .

Формула 9а применяется при расчетах Z_o для прямых участков канала, формула 9б - для участков сопряжения колен канала (мост поворота судна).

Таблица 9а

Углы крена θ , град. при курсовых
углах ветра от 60 до 90 град.

Тип судна	Скорость расчетного ветра W , м/с				
	9	13	16	19	22
Универсальные, лихтеровозы, газовозы, морские паромы	-	1	1	1	2
Контейнеровозы	1	2	3	4	5
Пассажирские	1	3	4	6	8

Таблица 96

Динамические углы крена Θ_d , град.

при отсутствии ветра

Тип судна	Скорость судна V , уз.									
	4	5	6	7	8	9	10	II	12	
Универсальные, лесовозы, контейнеровозы	I	I	2	2	3	4	5	6	7	
Лихтеровозы, пассажирские, морские паромы, газовозы	-	-	-	I	I	I	I	2	2	
Танкеры, комбинированные	-	-	-	-	-	-	I	I	I	

Примечания: I. Залас на крен от ветра не учитывается:

для танкеров и комбинированных судов;

для всех судов при курсовых углах ветра, отличных от 60 - 90 град.

2. Для лесовозов угол крена на прямых курсах берется постоянным, равным 5 град.

3. Мостом поворота считается крикел сопряженные колеса кипела о примыкающими к ней о двух оторопи прямо-линейными участками этих колес длиной L мажонії.

4. Пункт 5.4. Дополнить примечанием:

После расчета величины заложения откосов в зависимости от типа груза (табл. II, рис. 3а, 3б) производится проверка соответствия этой величины навигационным условиям плавания расчетного судна

при разной степени его загрузки. Для чего рассчитываются плавуческие величины захвата откосов

$$m_n = \frac{0.5L [\sin(\alpha_1 + \alpha_2)_\sigma + \sin(\alpha_1 + \alpha_2)_{gr}]}{T - T_\sigma}, \quad (12)$$

где $(\alpha_1 + \alpha_2)_\sigma$ - сумма углов сноса и дрейфа судна в балласте, град;

$(\alpha_1 + \alpha_2)_{gr}$ - сумма углов сноса и дрейфа судна в грузу, град
 $T_\sigma \geq (\Pi_\sigma - \sum Z_{j-3})$.

При $T_\sigma < (\Pi_\sigma - \sum Z_{j-3})$ - знаменатель формулы (12) заменяется выражением $T - (\Pi_\sigma - \sum Z_{j-3})$.

Сравниваются величины m_n и m_n^* , большая из них назначается для проектной прорези. При $m_n > m_n^*$ в формуле (5) п.З.7 и в разделе 6 m_n заменяется на m_n^* .

5. Исключить первый абзац сверху отр. II от слов: "В_M определяется..." до слов: "...заданными откосами", включительно.

6. Раздел 4. Дополнить примечанием:

Расчет запасов глубины не распространяется на ядерные суда.

Исполнители:

ЧерноморНИИпроект

Зав. НИЛ морских каналов и
динамики берегов, к.т.н.

Главный специалист по нормативно-техническим документам

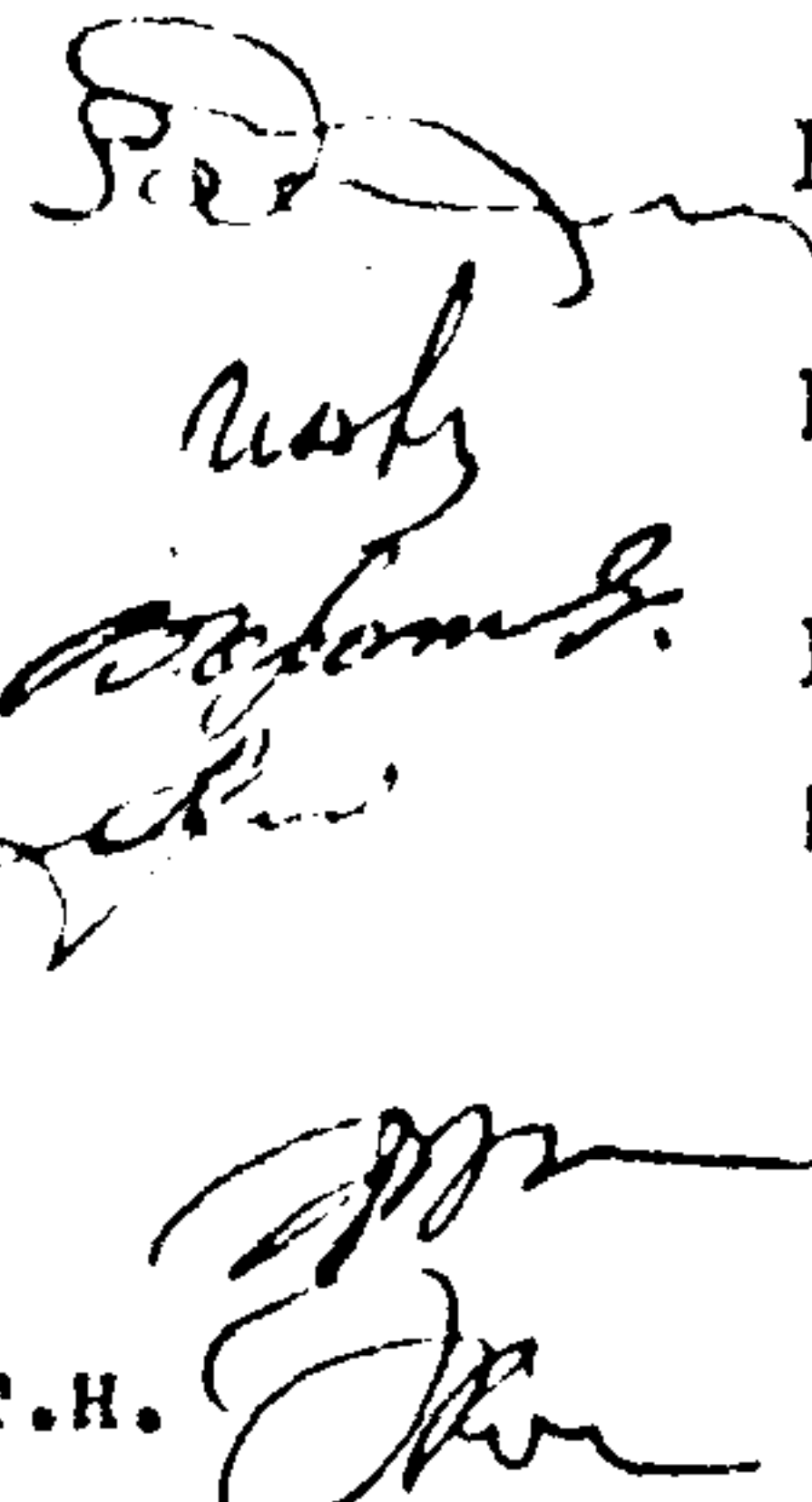
Руководитель группы исследования условий судоходства

Младший научный сотрудник

ОИИМР

Зав. кафедрой теории корабля,
к.т.н., доц.

Старший научный сотрудник, к.т.н.



В.Г. Мирошниченко

И.С. Вулихман

В.Т. Соколов

М.Л. Краснова

Ю.Л. Воробьев

Э.В. Коханов